

تأثیر افزودن منگنز بر مقاومت به اکسایش Ti-48Al تولید شده به روش آلیاژسازی مکانیکی*

«بادداشت پژوهشی»

هادی کریمی^(۱) احمد زارع^(۲) مرتضی هادی^(۳) محسن صادقی^(۴) علی قاسمی^(۵)

چکیده

آلومیناید تیتانیم و آلیاژهای آن، از خواص منحصر به فردی نظیر چگالی پایین (تقریباً 4 g/cm^3)، دمای ذوب بالا (تقریباً 1460°C) و استحکام دمای بالای عالی برخوردارند و بهمین دلیل، در سال‌های اخیر مورد توجه صنایعی مانند خودروسازی، هواپضا و نیروگاهی قرار گرفته‌اند. ترکیب بین فلزی Ti-48Al و آلیاژهای آن با ۱/۵ و ۳ و ۵ درصد (اتمی) منگنز، به روش آلیاژسازی مکانیکی با یک آسیای سیارهای از جنس کاربید تنگستن و با گلوله‌هایی از همین جنس تحت محیط گاز آرگون به مدت زمان ۵۰ ساعت با استفاده از پودرهای عنصری تولید شدند. برای چگالش پودرهای از عملیات فشردن سرد با حداقل نیروی ۴۰ نن استفاده شد و عملیات حرارتی تحت گاز آرگون در دمای 1050°C در یک کورومی الکتریکی لوله‌ای از جنس کوارتن، انجام شد. نتایج آزمون پراش پرتوی ایکس پرتوی افزودن منگنز به ترکیب Ti-48Al حین آلیاژسازی مکانیکی، سبب تشکیل فاز جدیدی در مجموعه‌ی آلومیناید تیتانیم نشده است. مشاهدات میکروسکوپ الکترونی رویشی از نمونه‌های چگالش یافته نشان دادند که پیوند ذرات پوری به خوبی در دمای عملیات حرارتی 1050°C برقرار شده است. نتایج سختی سنجی نشان دادند که سختی ترکیب Ti-48Al در حداود ۲۲/۱ راکول سی می‌باشد که با افزودن منگنز به آن تا ۵ درصد اتمی، به تقریباً ۴۰/۷ راکول سی افزایش می‌یابد. ارزیابی رفتار اکسایش نشان داد که مقاومت به اکسایش ترکیب Ti-48Al-5Mn در دمای 400°C ، اندکی کمتر (حداود ۸/۰۰/۰) از مقاومت به اکسایش Ti-48Al می‌باشد. افزون بر این، بر عکس آلیاژ Ti-48Al-5Mn در زمان‌های اکسایش بیشتر از ۱۴۰۰۰ ثانیه، ترکیب Ti-48Al به اکسایش حالت پایا رسیده است. تصویرهای میکروسکوپ الکترونی رویشی و نتایج آزمون طیف‌سنجی توزیع انرژی نشان دادند که علت کمتر بودن مقاومت به اکسایش آلیاژ حاوی ۵ درصد منگنز در مقایسه با Ti-48Al، تشکیل روتیل بر روی سطوح اکسید شده Ti-48Al-5Mn در دمای 900°C می‌باشد.

واژه‌های کلیدی بی‌شکل، آلومیناید تیتانیم آلیاژی، تخلخل، آلومینا، روتیل.

The Effect of Mn Addition on Oxidation Resistance of Ti-48Al Synthesized by Mechanical Alloying

H. Karimi

A. Zare

M. Hadi

M. Sadeghi

A. Ghasemi

Abstract

Titanium aluminide and its alloys have been utilized in automotive, aerospace and power industries because of their specific properties such as low density ($\sim 4 \text{ g/cm}^3$), high melting temperature ($\sim 1460^\circ\text{C}$) and excellent high-temperature strength. Ti-48Al intermetallic compound and its alloys with 1.5, 3 and 5 at.%Mn were produced with mechanical alloying of elemental powders for 50 hours. The process of mechanical alloying was carried out in a planetary ball mill machine with WC cups and balls under inert atmosphere of argon. To obtain bulk samples, the mechanically alloyed powders were cold pressed with the load of 40 ton and then heat treated at 1050°C under argon atmosphere in an electrical furnace with quartz tubes. The X-ray diffraction analysis showed that the addition of manganese to Ti-48Al during mechanical alloying causes no formation of a new phase in titanium aluminide system. Scanning electron microscopy observations on the surface of sintered bulk samples revealed that boundaries between powder particles have been well formed at 1050°C . The results of hardness tests showed that the addition of Mn up to 5 at.% increases the hardness value of Ti-48Al compound ($\sim 22.1 \text{ HRC}$) to $\sim 40.7 \text{ HRC}$. Evaluation of oxidation behavior showed that oxidation resistance of Ti-48Al-5Mn alloy is slightly smaller ($\sim 0.015 \text{ g}$) than that of Ti-48Al. On the contrary to Ti-48Al-5Mn alloy, Ti-48Al compound had a steady-state oxidation behavior for oxidation periods longer than 14000 seconds. Scanning electron microscopy images and the results of energy dispersive spectroscopy showed that the lower oxidation resistance of Ti-48Al-5Mn compared to that of Ti-48Al is related to the formation of rutile at 900°C on the oxidized surfaces of Ti-48Al-5Mn.

Key Word Amorphous, Alloy Titanium Aluminide, Porosity, Alumina, Rutile.

*نسخه‌ی نخست مقاله در تاریخ ۹۳/۱/۱۵ و نسخه‌ی پایانی آن در تاریخ ۹۴/۳/۲۴ به دفتر نشریه رسیده است.

(۱) کارشناس ارشد مهندسی مواد، دانشکده مهندسی مواد، دانشگاه صنعتی مالک اشتر

(۲) نویسنده‌ی مسئول، کارشناس ارشد مهندسی مواد، دانشکده مهندسی مواد، دانشگاه صنعتی مالک اشتر.

(۳) دکتری تخصصی مواد، عضو هیأت علمی، دانشکده مهندسی مواد، دانشگاه صنعتی مالک اشتر.

(۴) کارشناس ارشد مهندسی مواد، دانشکده مهندسی مواد، دانشگاه صنعتی مالک اشتر.

(۵) دانشیار، عضو هیأت علمی، دانشکده مهندسی مواد، دانشگاه صنعتی مالک اشتر.

طرفی، به دلیل واکنش پذیری ذاتی عنصر تیتانیم با مواد نسوز و محیط، ذوب شدن و ریخته‌گری این ترکیبات مشکل است. در نتیجه، برای تولید ترکیبات آلومیناید تیتانیم، به سرمایه‌گذاری بالایی برای ابزارهای تولید با ویژگی‌های مناسب کارکردی در دماهای بالا، نیاز است. آلیاژسازی مکانیکی، فرایند آسیاکاری با انرژی بالا است که امکان تولید مواد همگن را از مخلوط پودر عنصری به وجود می‌آورد. فرایند آلیاژسازی مکانیکی، اغلب در محیط خنثی انجام می‌شود [4]. آلیاژسازی مکانیکی به عنوان فرایندی شبه‌پایدار برای تولید مواد نظیر ترکیبات بین‌فلزی (مانند آلومیناید تیتانیم)، فاز بی‌شکل و مواد نانوساختار شناخته شده است. به‌کمک این روش، امکان آلیاژسازی عناصری که از طریق روش‌های متداول ذوب و ریخته‌گری غیرممکن یا مشکل است، وجود دارد [3].

تاکنون، تلاش‌های زیادی برای بهبود رفتار اکسایش آلیاژهای آلومیناید تیتانیم با افزودن عناصر آلیاژی خاص انجام شده است. در تحقیقی که توسط ژائو و همکاران [6]، انجام گرفته است، اثر افزودن آیتریم بر رفتار اکسایش تک‌دما و چرخه‌ای آلیاژ-Ti-45Al-8Nb شامل ۰/۱ تا ۱ درصد اتمی آیتریم در هوا در دمای 900°C بررسی شده است. آزمون اکسایش چرخه‌ای نشان داده است که افزودن $0/3^{\circ}\text{C}$ درصد اتمی آیتریم، چسبندگی پوسته‌ی اکسیدی به زیرلایه را بهبود می‌بخشد. لی [7]، اثر بخشی عنصر تنگستن بر مقاومت به اکسایش آلیاژ Ti-48Al-2Cr-2Nb در شرایط اکسایش تک‌دما و چرخه‌ای را بررسی کرده است. نمودار سرعت اکسایش تک‌دماهای آلیاژ مورد مطالعه در هوا در دماهای 800°C ، 900°C و 1000°C ، تقریباً به صورت سهمی می‌باشد. افزودن تنگستن، مقاومت به اکسایش آلیاژ Ti-48Al-2Cr-2Nb را افزایش داده است. در تحقیقی که توسط وُجتک و همکاران [8]، انجام گرفته است، اثر دو عنصر تانتالم و نایوبیم بر مقاومت به اکسایش آلیاژهای آلومیناید تیتانیم در سه دمای مختلف بررسی شده است. برای این‌منظور، از دو

مقدمه

آلیاژهای آلومیناید- تیتانیم، ترکیبات بین‌فلزی منظمی می‌باشند که چگالی پایین ($\text{تقریباً } 4\text{ g/cm}^3$)، دمای ذوب بالا (1460°C) و خواص منحصر به‌فرد آنها برای کاربرد در دماهای بالا، سبب شده است تا گزینه‌ی مناسبی برای جای‌گزینی به‌جای آبرآلیاژهای پایه نیکل در صنایع خودروسازی، نیروگاهی و هوافضا به‌شمار آیند [1]. انعطاف‌پذیری و مقاومت به اکسایش کم این آلیاژها، یکی از موانع کاربرد وسیع آن‌ها در دماهای بالاتر از 800°C می‌باشد [2]. دلیل مقاومت به اکسایش کم این آلیاژها، عدم توانایی آن‌ها در تشکیل پوسته‌های بادوام و پایدار آلومینا است. در اغلب شرایط اکسایش، مخلوط اکسیدهای تیتانیم-آلومینیم تشکیل می‌شوند و پوسته‌ی مخلوط تشکیل شده، باعث اکسایش سریع‌تر آلیاژ می‌شود. مقاومت به اکسایش در دماهای بالا، نیاز به یک مانع اکسیدی دارد که فلز و محیط را از یکدیگر جدا نماید. استمرار مقاومت به اکسایش، مستلزم نگهداری این مانع اکسیدی محافظ است. بنابراین، تولید تنش و آزاد شدن آن در پوسته‌های اکسیدی و توانایی یک آلیاژ برای تشکیل مجدد یک پوسته‌ی محافظ، در صورتی که در اثر تنش ترک‌خوردگی یا ریزش رخ دهد، ملاحظات مهمی در اکسایش فلزات در دمای بالا است [3-5].

متالورژی شمش، ریخته‌گری دقیق و متالورژی پودر، رایج‌ترین روش‌های تولید آلیاژهای آلومیناید-تیتانیم هستند. روش‌های پیشرفته‌تری مانند آلیاژسازی مکانیکی، نورد مستقیم و شکل‌دهی با لیزر، با موفقیت برای تولید قطعاتی از جنس آلومیناید- تیتانیم به‌کار رفته‌اند. یکی از چالش‌های تولید آلیاژهای آلومیناید-تیتانیم در مقایسه با آبرآلیاژهای پایه نیکل، هزینه‌ی تولید آن‌ها می‌باشد. این چالش تا حد زیادی مربوط به این واقعیت است که روش‌های تولید برای موادی با انعطاف‌پذیری کم وجود ندارد. افزون بر این، با توجه به وجود نظم بلند دامنه برای ترکیبات آلومیناید تیتانیم تا نقطه‌ی ذوب آن‌ها، دمای تولید نسبتاً بالا است. از

Ti-48Al- $\text{Ti}-48\text{Al}-3\text{Mn}$, $\text{Ti}-48\text{Al}-1.5\text{Mn}$, $48\text{Al}-5\text{Mn}$ به روش آلیاژسازی مکانیکی انجام گرفت. سپس، با انجام عملیات حرارتی، قطعات چگالش یافته به دست آمد و در ادامه، رفتار اکسایش دو ریزساختار به دست آمده بررسی شد تا تأثیر افزودن منگنز بر مقاومت به اکسایش ترکیب بین فلزی $\text{Ti}-48\text{Al}$ تعیین شود.

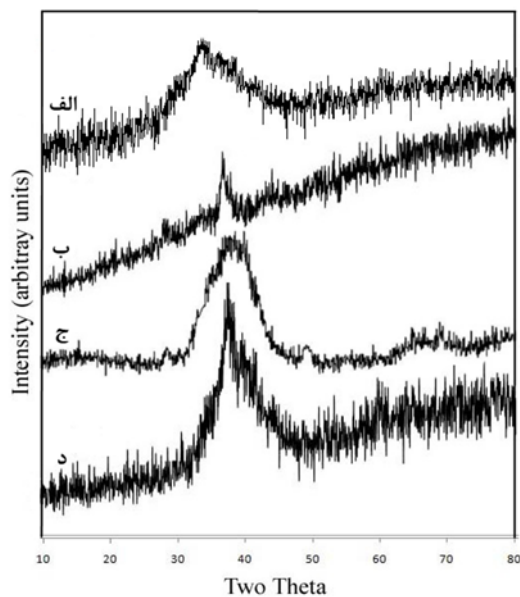
مواد و روش‌های آزمایش

از پودرهای خالص تجاری آلومینیم (بیش از ۹۹ درصد بین ۲۰ تا ۱۰۰ میکرون)، تیتانیم (بیش از ۹۸ درصد بین ۲۰ تا ۱۰۰ میکرون) و منگنز (بیش از ۹۹ درصد بین ۵۰ تا ۱۰۰ میکرون)، به عنوان مواد اولیه استفاده شد. عملیات آلیاژسازی مکانیکی، در آسیای سیارهای فریچ P6 انجام شد. گلولهای محفظه ای این آسیا، از جنس کاربید تنگستن بود و نسبت گلوله به پودر، برابر با ۱۰:۱ انتخاب شد. برای جلوگیری از وقوع واکنش‌های اکسایش حین آسیاکاری، محیط محفظه کنترل شد و تحت گاز آرگون قرار گرفت. برای تولید قطعات، پودرهای آسیاکاری شده تحت عملیات فشردن سرد هیدرولیک با ظرفیت پرس ۴۰ تن، قرار گرفتند. برای تفجوشی نمونه‌های پودری فشرده شده، از کوره‌ی الکتریکی لوله‌ای از جنس کوارتز استفاده شد. این کوره، تحت محیط کنترل شده آرگون برای جلوگیری از اکسایش نمونه‌ها کار می‌کرد. آزمون اکسایش بر روی نمونه‌های قرص شکل به قطر ۱۵ میلی‌متر در دمای 900°C و به مدت ۸ ساعت مطابق با استاندارد ASTM E1131-03 و با استفاده از ترازو با حساسیت توزین ± 0.1 میلی‌گرم و تحت محیط هوای معمولی انجام شد. برای متالوگرافی، نمونه‌ها در محلول استاندارد کرول ($80\% \text{H}_2\text{O} + 5\% \text{HF} + 15\% \text{H}_2\text{O}$), حکاکی شدند. آزمون سختی‌سنجی، با استفاده از استاندارد راکول سی انجام گرفت. میزان تخلخل و چگالی نمونه‌های چگالش یافته، به روش ارشمیدس و

ترکیب آلیاژی $\text{Ti}-45.2\text{Al}-7.2\text{Nb}$ و $\text{Ti}-44.8\text{Al}-6.6\text{Ta}$ در این تحقیق استفاده شده است. مشخص شده است که عنصر تانتالم نسبت به نایوبیم، در تمامی دماها برای کاهش سرعت اکسایش موثرتر است. در دماهای 800°C و 900°C اختلاف در سرعت اکسایش بین دو آلیاژ کمتر است، در حالی که در دمای 1000°C ، آلیاژ حاوی نایوبیم افزایش جرم بیشتری را نشان می‌دهد. در تحقیقی که توسط لو و همکاران [۵]، انجام گرفته است، مقاومت به اکسایش دو آلیاژ تولید شده به روش متالورژی پودر $\text{Ti}-45\text{Al}-8.5\text{Nb}-0.2\text{B}-0.2\text{W}-0.1\text{Y}$ و $\text{Ti}-47.5\text{Al}-2.0\text{V}-1.0\text{Cr}$ بررسی شده است. آلیاژ نایوبیم‌دار، دارای مقاومت به اکسایش بسیار بالایی بوده است که دلیل آن، وجود مقادیر بالای نایوبیم عنوان شده است. از طرف دیگر، عنصرهای کروم و وانادیم، به عنوان بهبود دهنده اعطاف‌پذیری برای ترکیبات TiAl شناخته می‌شوند، ولی این دو عنصر باعث افت مقاومت به اکسایش این ترکیبات می‌شوند.

مطالعات انجام گرفته حاکی از آنند که با افزودن مقدار اندکی عنصرهای آلیاژی مانند منگنز، کروم، وانادیم و مس، اعطاف‌پذیری آلیاژهای پایه آلومینیايد تیتانیم به طور قابل ملاحظه‌ای بهبود می‌یابد. در بین این عنصرها، منگنز به میزان قابل توجهی اعطاف‌پذیری را افزایش می‌دهد. در حقیقت، این عنصر با کاهش انرژی نقص چیدمان، تمایل به تغییر شکل با سازوکار دوقلویی را افزایش می‌دهد [۹]. در مقابل، عنصرهایی مانند مولیبدن، نایوبیم، هافنیم و تنگستن، سبب افت اعطاف‌پذیری می‌شوند، ولی مقاومت به اکسایش را تا حد مطلوبی بهبود می‌دهند [۱۰]. بنابراین، عنصرهای آلیاژی می‌توانند خواص مکانیکی و مقاومت به اکسایش این آلیاژها را تا حد زیادی تحت تأثیر قرار دهند. اما تاکنون، تأثیر افزودن عنصر آلیاژی منگنز که سبب افزایش اعطاف‌پذیری می‌شود، بر مقاومت به اکسایش ترکیب بین فلزی $\text{Ti}-48\text{Al}$ بررسی نشده است. بنابراین، در این پژوهش، تولید ترکیبات بین فلزی Ti -

شبکه‌ی تیتانیم در دمای اتاق، برابر با $10^{-23} \text{ cm}^2/\text{s}$ و ضریب نفوذ تیتانیم در شبکه‌ی آلومینیم در دمای اتاق، برابر با $10^{-23} \text{ cm}^2/\text{s}$ می‌باشد. در نتیجه، آلومینیم دارای ضریب نفوذ بزرگتری در شبکه‌ی تیتانیم دارد و شرایط سیستمیکی را برای ایجاد ساختار بی‌شکل فراهم می‌سازد. در واقع، شرایط سیستمیکی و ترمودینامیکی لازم برای تشکیل فاز بی‌شکل در مجموعه‌ی Ti-Al-Mn برقرار است [12].



شکل ۱ الگوهای پراش پرتوی ایکس مربوط به ترکیب Ti-48Al (الف) و آلیاژهای آن با ۱/۵ (ب)، ۳ (پ) و ۵ (ت) درصد اتمی منگنز. انجام آلیاژسازی مکانیکی به مدت زمان ۵۰ ساعت.

تولید قطعات

برای تولید قطعات، از مخلوط‌های پودری وزن شده مناسب با ترکیبات مورد مطالعه، استفاده شد. این پودرهای ابتدا در حالت سرد فشرده شدند. چگالی آنها قبل از تفجوشی، در شکل (۲) آورده شده است. با توجه به نتایج شکل (۲) و در نظر گرفتن انحراف معیار برای مقادیر اندازه‌گیری شده، افزودن منگنز اثر محسوسی بر چگالی قبل از تفجوشی نداشته است. پس از تفجوشی، چرخه عملیات حرارتی در دمای 1050°C به مدت ۱ ساعت بر روی تمام ترکیبات انجام

بر اساس استاندارد ASTM C20 تعیین شدند. از آزمون پراش پرتوی ایکس (با دستگاه فیلیپس PW-1730)، برای بررسی نوع فازهای تشکیل شده استفاده شد. برای اندازه‌گیری کرنش شبکه و اندازه‌ی بلورک‌های ذرات پودری به کمک آزمون پراش پرتوی ایکس، از رابطه‌ی ویلیام‌سون-هال استفاده شد.

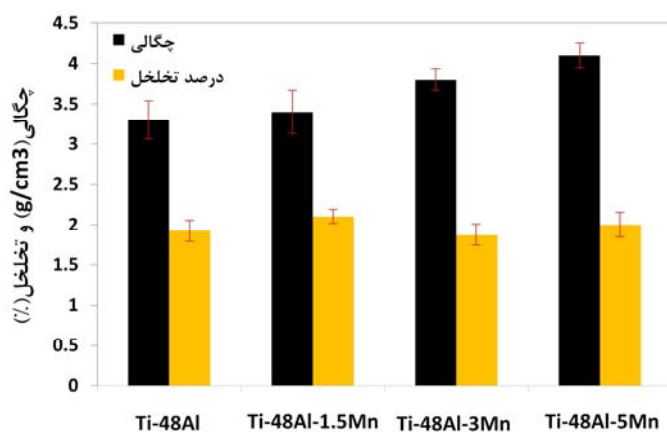
با استفاده از میکروسکوپ الکترونی روبشی مدل VEGA ساخت شرکت TESCAN، سطوح قطعات تولیدی و سطوح اکسید شده بررسی شدند. این میکروسکوپ به طیف‌سنج انرژی پرتوی ایکس مجهر بود که برای تحلیل شیمیایی برخی از نواحی یا ذرات موجود در سطوح اکسید شده، استفاده شد. برای اندازه‌گیری مقادیر متوسط ذرات پودر، از نرم‌افزار تحلیل تصویری کلمکس استفاده شد.

نتایج و بحث آلیاژسازی مکانیکی

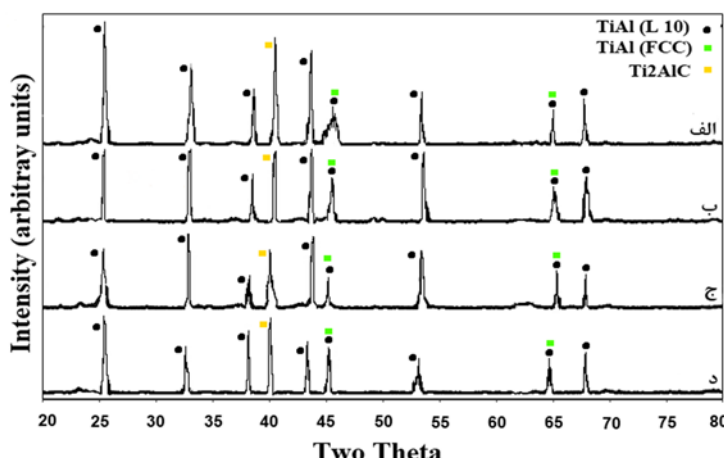
شکل (۱)، الگوهای پراش پرتوی ایکس مربوط به نمونه‌های Ti-48Al و آلیاژهای آن با ۱/۵، ۳ و ۵ درصد اتمی منگنز که با آلیاژسازی مکانیکی به مدت ۵۰ ساعت تهیه شده‌اند را نشان می‌دهد. پهنای پیک برای تمام ترکیبات در این شکل، نشان‌دهنده‌ی کاهش اندازه‌ی بلورک‌ها با افزایش زمان آسیاکاری می‌باشد. در شکل (۱)، حضور پیک‌های پهن در الگوی پراش قابل مشاهده است که نشان‌دهنده‌ی تکمیل تشکیل فاز بی‌شکل می‌باشد. کاهش اندازه‌ی دانه‌ها و افزایش سطوح مرزدانه‌ها، انبساط شبکه‌ای و افزایش عیوب‌های بلوری شبیه به جاهای خالی، نابهایی، مرزدانه‌ها و مرزهای بین‌فازی حین آلیاژسازی مکانیکی، انرژی آزاد مجموعه را افزایش داده‌اند و این، موجب عدم پایداری فاز بلوری و تشکیل ساختار بی‌شکل شده است. مجموعه‌ی Ti-Al-Mn، دارای آنتالپی اتحلال بسیار منفی در حالت بی‌شکل است که نیروی رانش ترمودینامیکی را برای ایجاد ساختار بی‌شکل تأمین می‌کند [11]. افزون بر این، ضریب نفوذ آلومینیم در

در ساختار تیتانیم حل می‌شود و منجر به انقباض بیشتر شبکه‌ی تیتانیم نسبت به مجموعه‌ی آلومنیم است. تیتانیم بدون منگنز می‌شود [13]. افزودن منگنز به مجموعه‌ی Ti-48Al، منجر به وقوع تغییرات حجمی در شبکه‌ی بلوری و نسبت مکعب‌مستطیلی (c/a) در شبکه‌ی بلوری و نسبت مکعب‌مستطیلی (c/a) در شبکه‌ی آلومنیم است. با توجه به این‌که اتم منگنز در شبکه‌ی آلومنیم در مکان‌های ترجیحی اتم آلومنیم قرار می‌گیرد، می‌توان انتظار داشت که نسبت مکعب‌مستطیلی با افزودن عنصر آلیاژی منگنز افزایش یابد و این، مطابق با قانون برآگ، به جابجایی پیک‌های آلومنیم تیتانیم به سمت زاویه‌های بزرگ‌تر منجر می‌شود (شکل ۱) [14].

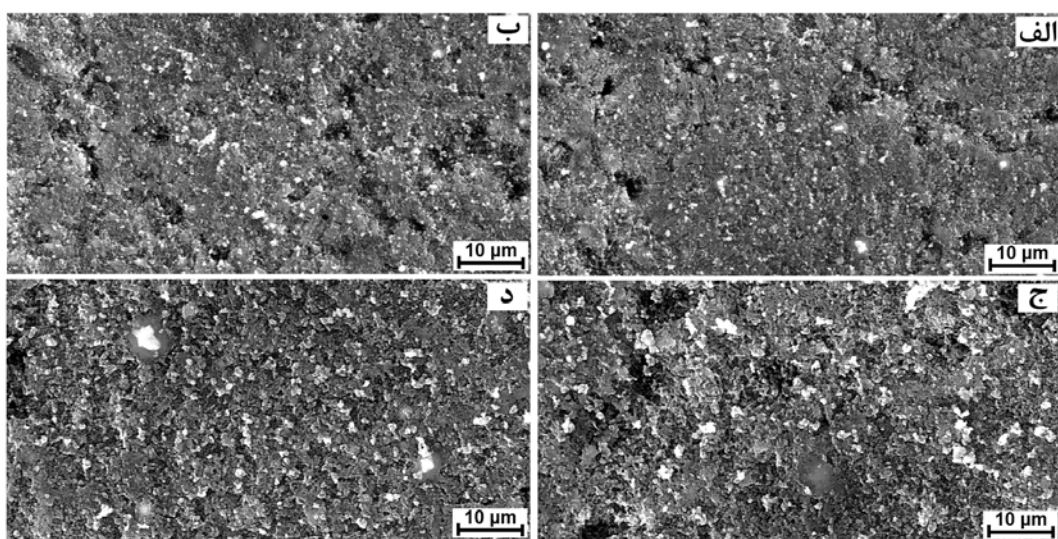
شد. نتایج حاصل از پراش پرتوی ایکس از قطعات مربوط به ترکیب Ti-48Al و آلیاژهای آن با ۳، ۵/۱ درصد اتمی، در شکل (۳) نشان داده شده‌اند. برای تمام ترکیبات، نمودارهای مشابهی حاصل شده است و فازهای TiAl با شبکه‌های بلوری FCC و Li_0 ، فازهای غالب هستند. افزودن عناصر آلیاژی مانند منگنز، منجر به تشکیل فاز جدیدی در ترکیب Ti-48Al نمی‌شود و منگنز افزوده شده با قرارگیری در ساختار بلوری تیتانیم، محلول جامد آلومنیم و منگنز در تیتانیم را تشکیل می‌دهد. با توجه به شعاع اتمی کوچک‌تر منگنز و آلومنیم نسبت به تیتانیم، حین آلیاژسازی مکانیکی، افزون بر مقادیر بالای آلومنیم، منگنز افزوده شده نیز



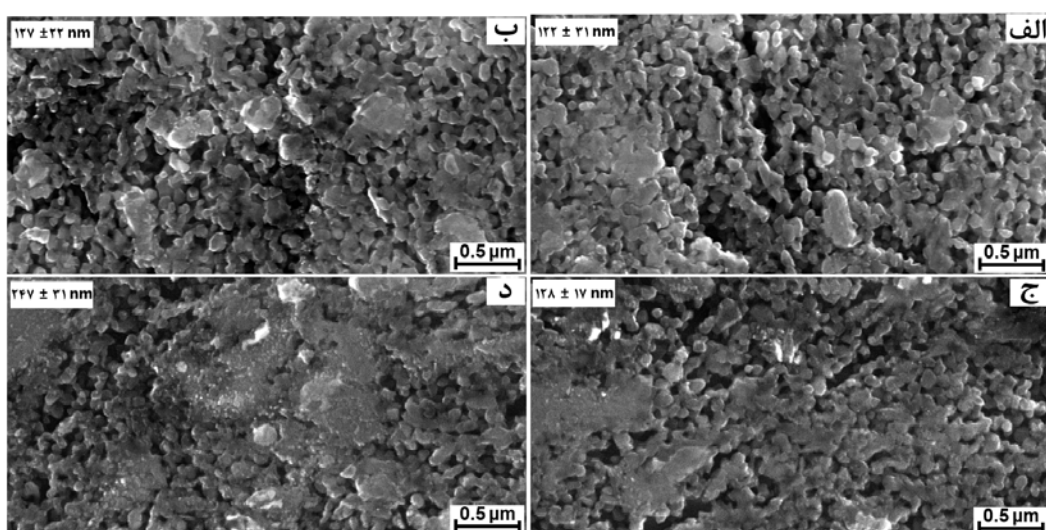
شکل ۲ چگالی و درصد تخلخل موجود در ترکیبات مطالعه پس از فشردن سرد و قبل از انجام تفجوشی



شکل ۳ الگوهای پراش پرتوی ایکس مربوط به نمونه‌های شامل ترکیب Ti-48Al (الف) و آلیاژهای آن با ۱/۵ (ب)، ۳ (ج) و ۵ (د) درصد اتمی منگنز، تولید شده با فشردن سرد و عملیات حرارتی در دمای ۱۰۵۰ °C



شکل ۴ ریزساختارهای مربوط به ترکیب Al-Ti-48Al (الف) و آلیاژهای آن با ۱/۵ (ب)، ۳ (ج) و ۵ (د) درصد اتمی منگنز، تولید شده با فشردن سرد و عملیات حرارتی در دمای 1050°C



شکل ۵ ریزساختارهای نمونه‌های Ti-48Al-5Mn تولید شده با فشردن سرد و عملیات حرارتی در دماهای 800°C (الف)، 900°C (ب)، 1050°C (ج) و 1200°C (د) (اعداد واقع در گوشه‌ی سمت چپ و بالای تصویرها، اندازه‌ی متوسط ذرات پودر را نشان می‌دهند).

است (شکل‌های ۵، الف و ب) و درصد تخلخل در نمونه‌هایی که در دماهای کمتر از 1000°C تفجوشی شده‌اند، زیاد است (بیش از $2/4$ درصد). کاهش و حذف تخلخل هین تفجوشی، در مرحله‌ی میانی تفجوشی اتفاق می‌افتد. در این مرحله، گلویی‌هایی بین ذرات پودری متصل شده رشد می‌کنند و مراکز ذرات اولیه بهم نزدیک‌تر می‌شوند و در نتیجه‌ی آن، از میزان تخلخل کاسته می‌شود. در این مرحله، در

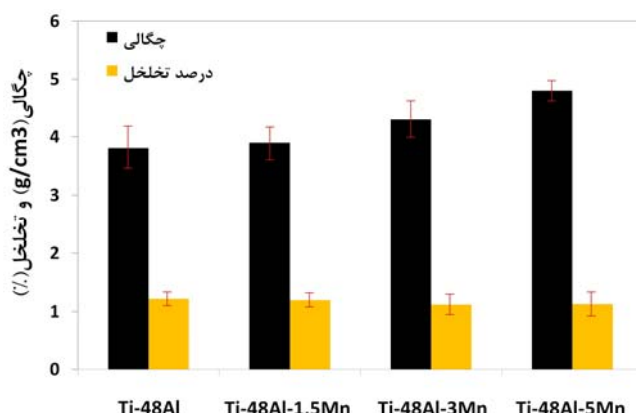
ریزساختارهای حاصل از تفجوشی نمونه‌های Ti-48Al و آلیاژهای آن با ۱/۵، ۳ و ۵ درصد اتمی منگنز، در شکل (۴) آورده شده‌اند. همان‌طور که در شکل مشاهده می‌شود، هین تفجوشی فرایند اتصال ذرات پودری به خوبی انجام شده و چگالش تکمیل شده است. مطالعات ریزساختاری انجام شده (شکل ۵) نشان می‌دهند که در دماهای تفجوشی پایین‌تر (800°C و 900°C)، پیوند بین ذرات به خوبی برقرار نشده

می شود، با افزودن منگنز تا ۵ درصد اتمی به آلیاژ-Ti-48Al، چگالی از $3/8 \text{ g/cm}^3$ به $4/9 \text{ g/cm}^3$ افزایش یافته است. وزن اتمی منگنز برابر با $54/94$ می باشد که نسبت به وزن های اتمی عنصرهای تیتانیم و آلومینیم که به ترتیب $47/9$ و $26/98$ می باشند، بیشتر است. بنابراین، افزودن منگنز در این ترکیبات، باعث افزایش چگالی نمونه ها شده است [16]. با توجه به نتایج ارائه شکل (۶)، درصد تخلخل در تمام ترکیبات مورد مطالعه، تقریباً یکسان است و علت آن، یکسان بودن فرایندهای ساخت (فسردن سرد و چرخه ی یکسان عملیات حرارتی) می باشد.

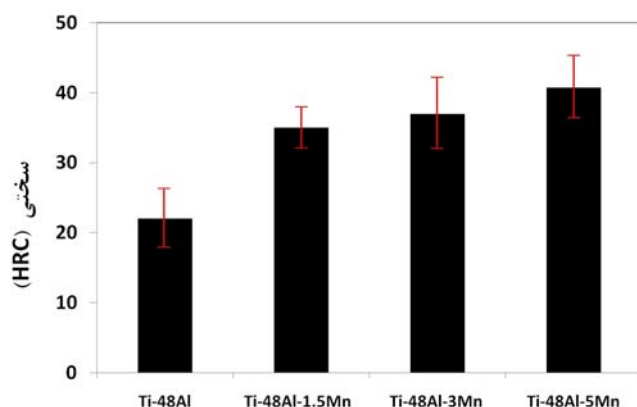
نتایج حاصل از سختی سنجی بر روی نمونه های تولیدی، در شکل (۷) نشان داده شده اند. همان گونه که مشاهده می شود، سختی آلیاژ های منگزدار بیش از آلیاژ Ti-48Al است و سختی با افزایش درصد اتمی منگنز افزایش می یابد. عنصر آلیاژی منگنز، سبب کاهش انرژی نقص چیدمان، تمایل ترکیب بین فلزی کاهش انرژی نقص چیدمان، تمایل ترکیب بین فلزی به تغییر شکل مومسان با سازوکار دوقلویی شدن، افزایش می یابد. این رفتار، به افزایش سختی آلیاژ Ti-48Al-5Mn در آن افزایش می یابد [17]. افزون بر این، با فعال شدن تغییر شکل با سازوکار دوقلویی شدن، انعطاف پذیری آلیاژ Ti-48Al با افزودن منگنز افزایش می یابد.

قطعه انقباضی برابر با مقدار تخلخل کاهش یافته، ایجاد می شود. بیشترین درصد انقباض در مرحله ای میانی و تا تشکیل مرز دانه ها و جدایش تخلخل پیش خواهد رفت. سازوکار اصلی انتقال ماده در عملیات تف جوشی، نفوذ حالت جامد می باشد و اختلاف پتانسیل شیمیایی بین نقاط تماس بین ذرات پودری و سطوح آزاد آنها، نیروی محركه برای این سازوکار محسوب می شود. حذف نهایی تخلخل در مرحله ای پایانی صورت می گیرد. در این مرحله، تخلخل باقی مانده با نفوذ جاهای خالی در امتداد مرز دانه ها حذف می شود. حذف تخلخل و نفوذ جاهای خالی در امتداد مرز دانه ها، به حرکت مرز دانه ها و رشد دانه ها منجر می شود. رشد دانه ها باید توسط دمای تف جوشی کترل شود، زیرا رشد دانه ها در دماهای بالای تف جوشی (1200°C) بسیار سریع است (شکل (۵-۷)) و مرز دانه ها سریع تر از جاهای خالی حرکت می کنند و این، منجر به حذف حفره ها درون دانه ها می شود. بنابراین، در این تحقیق، دمای تف جوشی برابر با 1050°C در نظر گرفته شد تا اتصال بین ذرات پودری به خوبی برقرار شود و رشد دانه ها هم کترل شود [۵].

نتایج به دست آمده از اندازه گیری چگالی و درصد تخلخل در نمونه های تولیدی به روش ارشمیدس، در شکل (۶) نشان داده شده اند. همان گونه که مشاهده



شکل ۶ چگالی و درصد تخلخل در ترکیبات مورد مطالعه پس از فشردن سرد و عملیات تف جوشی



شکل ۷ نتایج حاصل از آزمون سختی سنجی بر روی ترکیبات مورد مطالعه

استحاله‌ای ناشی از تشکیل پوسته‌های اکسیدی، از جمله مهم‌ترین منابع ایجاد تنفس‌های باقی‌مانده هستند [18].

با افزایش مدت زمان آزمون اکسایش در دمای 700°C ، نمودار (۸-پ) به حالت پایا رسیده است که دلیل آن را می‌توان تشکیل مجده پوسته‌ی اکسیدی بر روی سطح نمونه عنوان کرد. با این حال، نمونه‌ی Ti-48Al-5Mn (شکل ۸-ب)، نمودار به حالت پایا نرسیده است و علت آن، تضعیف چسبندگی لایه‌های اکسیدی به زیرلایه با افزودن عنصر منگنز می‌باشد. با توجه به نمودار اکسایش در شکل (۸-پ) (مرتبط با نمونه‌ی Ti-48Al) پس از ریزش پوسته‌ی اکسیدی، با افزایش زمان اکسایش، پوسته‌ی اکسیدی مجدداً بر روی ترکیب بین فلزی Ti-48Al تشکیل شده است. از این مرحله به بعد، ریزش پوسته‌ی اکسیدی رخ نداده است و نمودار اکسایش به حالت پایدار رسیده است. پایداری و عدم ریزش پوسته‌ی اکسیدی در این مرحله، می‌تواند به بسته شدن حفره‌های موجود در نمونه مربوط باشد. بسته شدن حفره‌ها، با سازوکار "خود تف‌جوشی" انجام می‌شود. با افزایش دما، پدیده‌ی "خود تف‌جوشی" تسریع می‌شود، زیرا جریان اتم‌ها به سمت حفره‌ها و هم‌چنین، جریان جاهای خالی از حفره‌ها به سمت مناطقی مانند جاهای خالی و سطوح فصل مشترک، افزایش می‌یابد [19]. افزون بر این،

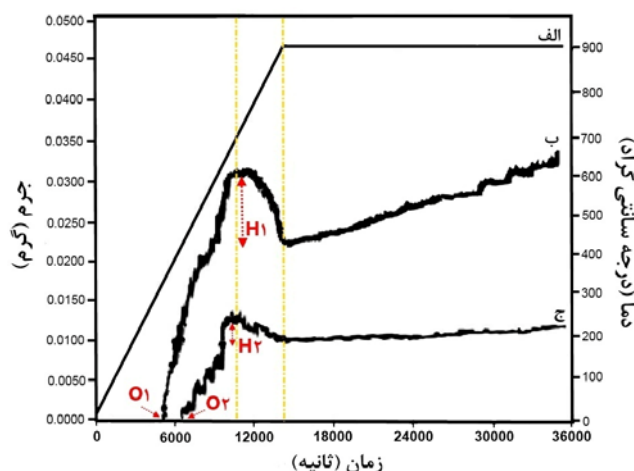
اکسایش

تغییرات دما و وزن نمونه‌های Ti-48Al و Ti-48Al-5Mn بر حسب زمان در آزمایش اکسایش، در شکل (۸) نشان داده شده‌اند. با توجه به نتایج ارائه شده در این شکل، زمان شروع اکسایش برای نمودار (۸-پ) (O1) کم‌تر از نمودار (۸-پ) (O2) است. این رفتار، به مستعدتر بودن لایه‌های سطحی در ترکیب Ti-48Al-5Mn برای اکسایش در مقایسه با ترکیب Ti-48Al اشاره دارد. در نمودار شکل (۸-پ) که مربوط به نمونه‌ی Ti-48Al است، افزایش وزنی حدود ۲ میلی‌گرم هنگام گرمایش از دمای اتاق تا دمای 700°C به دست آمده است. این در حالی است که در نمودار مربوط به شکل (۸-ب) (مربوط به نمونه‌ی Ti-48Al-5Mn)، افزایش وزنی حدود ۴ میلی‌گرم در این محدوده‌ی دمایی دیده می‌شود. این نتیجه نشان می‌دهد که سرعت اکسایش Ti-48Al در مقایسه با نمونه‌ی Ti-48Al-5Mn در محدوده‌ی دمای 25°C تا 700°C پایین‌تر است و نیز، کاهش پایداری لایه‌ی اکسیدی بر روی سطح آلومیناید تیتانیم با افزودن منگنز را نشان می‌دهد. با افزایش دمای آزمون اکسایش تا 900°C ، کاهش وزن در نمودار (۸-ب) مشاهده می‌شود که علت آن، ریزش پوسته‌ی اکسیدی است. وجود تنفس‌های باقی‌مانده، از مهم‌ترین دلیل‌های ریزش پوسته‌های اکسیدی به شمار می‌آید. تنفس‌های حرارتی و

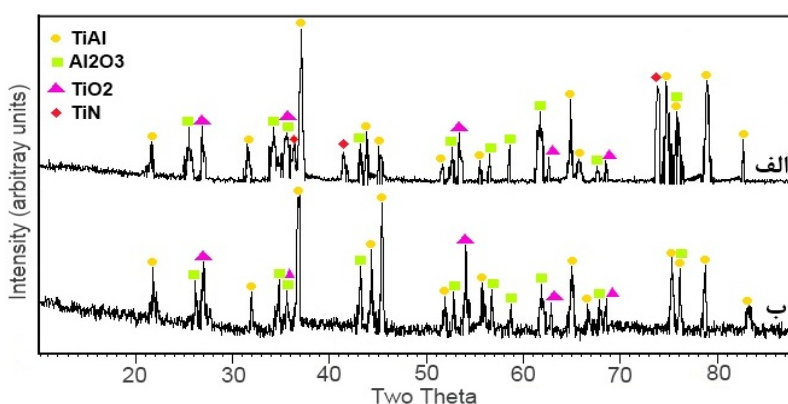
اصلی TiAl و فازهای اکسیدی روتیل و آلومینا می‌باشد. با افزودن منگنز به مجموعه‌ی Ti-48Al، به دلیل میل ترکیبی بیشتری که این عنصر با اکسایش در مقایسه با تیتانیم و آلومینیوم دارد، در زمان رشد پوسته اکسیدی، از فصل مشترک پوسته و زیرلایه خارج می‌شود. رقیق‌سازی این عنصر در فصل مشترک پوسته و زیرلایه، به تشکیل پوسته‌ی متخلخل تر و با چسبندگی کم‌تر به زیرلایه منجر می‌شود. ریزش بیش‌تر پوسته‌ی اکسیدی آلیاژ آلیاژ Ti-48Al-5Mn (شکل ۸-ب) در مقایسه با Ti-48Al (شکل ۸-پ)، می‌تواند به لایه‌ی متخلخل در فصل مشترک پوسته و زیرلایه مربوط باشد.

تشکیل دانه‌های اکسیدی آلومینا به جای روتیل در دماهای بالای اکسایش، می‌تواند دلیل دیگری برای ثابت بودن سرعت اکسایش باشد. در مراحل قبلی اکسایش، دانه‌های روتیل به دلیل سرعت رشد بالایی که داشته‌اند، نسبت به آلومینا با سرعت بیش‌تری تشکیل شده‌اند و باعث کاهش غلظت تیتانیم در ناحیه‌ی زیر پوسته‌ی اکسیدی شده‌اند. با ریزش پوسته‌ی اکسیدی، شرایط برای تشکیل آلومینا فراهم می‌شود و چون آلومینا سرعت رشد پایینی دارد، باعث کاهش سرعت اکسایش می‌شود.

نتایج آزمون پراش پرتوی ایکس از سطح نمونه‌های اکسید شده در شکل (۹)، نشان‌گر وجود فاز



شکل ۸ چرخه‌ی دمایی در آزمون اکسایش (الف). نمودارهای جرم بر حسب زمان اکسایش داغ در دمای 900°C برای ترکیبات (ب) Ti-48Al-5Mn و (ج) Ti-48Al



شکل ۹ الگوهای پراش پرتوی ایکس برای ترکیبات Al-48Ti و Ti-48Al-5Mn (الف) و Al-48Ti (ب) اکسید شده به مدت ۸ ساعت در دمای 900°C

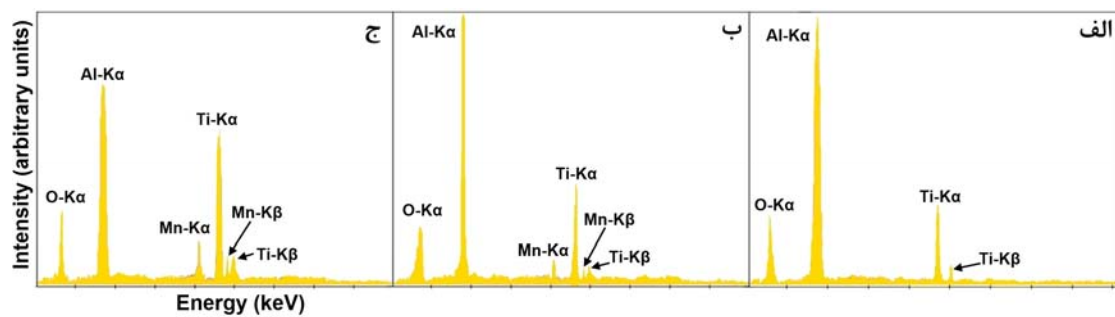
این دانه‌ها تقریباً ۲۵/۶۱ درصد اتمی و مقدار تیتانیم حدوداً ۲/۹۳ درصد اتمی است. با توجه به مقدار بالاتر آلومینیم برای این دانه، می‌توان نتیجه گرفت که این دانه‌ها عمدتاً از جنس اکسید آلومینیم هستند. آزمون طیف‌سنجی توزیع انرژی انجام گرفته بر روی دانه‌ی اکسید شده‌ی آمربوط به آلیاژ Ti-48Al-5Mn (جدول (۱) و شکل (۱۱-ب)), نتایج مشابهی را نشان می‌دهد، به‌طوری که مقادیر آلومینیم (تقریباً ۲۶/۲۳ درصد اتمی)، تیتانیم (تقریباً ۴/۸۱) و منگنز (تقریباً ۱/۴۷) برای این دانه نزدیک به مقادیر اندازه‌گیری شده برای ترکیب Ti-48Al (شکل (۱۱-الف)) است. افزون بر این، مقدار منگنز برای سطوح اکسید شده‌ی دانه‌های نوع آ از آلیاژ Ti-48Al-5Mn، بسیار کم و در حدود ۱/۴۷ درصد اتمی است که با نتایج تحقیقات قبلی [۸]، که منگنز تنها در دانه‌های روتیل جای‌گزین می‌شود، مطابقت دارد. آزمون انجام گرفته بر روی دانه‌های به‌شکل ب از آلیاژ Ti-48Al-5Mn، نتایج متفاوتی را نشان می‌دهد، به‌طوری که مقدار آلومینیم برای این دانه تقریباً ۹/۷۵ ۱۲/۵۵ درصد اتمی، مقدار تیتانیم تقریباً ۴/۳۷ در حدود ۴ درصد اتمی در وجود مقادیر بالاتر تیتانیم و منگنز برای این دانه، نشان‌دهنده‌ی حضور اکسید تیتانیم در این دانه‌ها است. وجود مقادیر بالاتر منگنز برای دانه‌های روتیل در مقایسه با آلومینا، نشان‌دهنده‌ی اثر دوپینگ شدن این عنصر در دانه‌های روتیل و اثر مضر آن بر افزایش رشد این نوع اکسید است. نتایج میکروسکوپ الکترونی روبشی و آزمون طیف‌سنجی توزیع انرژی نشان می‌دهند که پوسته‌ی اکسیدی تشکیل شده برای ترکیب Ti-48Al، عمدتاً شامل اکسید آلومینیم است، در حالی که سطوح اکسید شده‌ی آلیاژ با ۵ درصد اتمی منگنز، مخلوطی از آلومینا و روتیل می‌باشد. در آلیاژ Ti-48Al-5Mn، حضور ۵ درصد اتمی منگنز باعث تشکیل روتیل بر روی سطوح اکسید شده می‌شود. دانه‌های روتیل با ضریب نفوذ بالا برای یون‌های اکسیژن و تیتانیم، باعث کاهش مقاومت به اکسایش در مقایسه با آلیاژ Ti-48Al می‌شوند.

با توجه به نتایج نشان داده شده در شکل (۹)، پیک‌های مربوط به فاز نیترید تیتانیم (TiN) برای ترکیب اکسید شده‌ی Ti-48Al ظاهر شده است که در الگوی پراش پرتوی ایکس مربوط به ترکیب اکسید شده‌ی Ti-48Al-5Mn وجود ندارد. زمانی که ماده در تماس با هوا اکسید می‌شود، افزون بر واکنش اکسایش، نیتریدی شدن نیز اتفاق می‌افتد، اما سرعت وقوع واکنش اکسایش سریع‌تر از واکنش نیتریدی شدن است. غلظت نیتروژن و اکسیژن با افزایش عمق نفوذ آن‌ها به‌درون فلز کاهش می‌یابد، ولی به‌دلیل سرعت بالاتر واکنش اکسایش، غلظت اکسیژن در عمق فلز زودتر کاهش می‌یابد و تمایل برای نیتریدی شدن افزایش می‌یابد. در نتیجه، در لایه‌های درونی تر فلز، ترکیبات نیتریدی تشکیل می‌شوند و به صورت فاز نیترید تیتانیم در الگوی پراش مربوط به Ti-48Al ظاهر می‌شوند. این فاز، در مراحل بعدی اکسایش می‌تواند به فاز روتیل تبدیل شود. واکنش نیترید تیتانیم به روتیل طولانی است و در نتیجه، از گسترش لایه‌ی پوسته‌ی آلومینا ممانعت می‌کند [۲۰]. سازوکار نیتریدی شدن، پایین‌تر بودن نمودار اکسایش Ti-48Al در مقایسه با نمودار اکسایش Ti-48Al-5Mn (شکل ۸) را توجیه می‌کند.

شکل (۱۰)، تصویرهای میکروسکوپ الکترونی روبشی از سطوح اکسید شده ترکیبات Ti-48Al و Ti-48Al-5Mn بر روی ترکیب Ti-48Al، به صورت یکنواخت است و حضور دانه‌های بزرگ اکسیدی مشهود است. این در حالی است که در پوسته‌ی تشکیل شده بر روی آلیاژ Ti-48Al-5Mn (شکل ۱۰-ب)، دو نوع شکل متفاوت آ و ب از ذرات اکسیدی مشاهده می‌شود. برای تعیین ترکیب شیمیایی دانه‌های اکسیدی به شکل‌های متفاوت و پوسته‌ی تشکیل شده بر روی سطح نمونه‌های مورد مطالعه، آزمون طیف‌سنجی توزیع انرژی بر روی دانه‌های شکل (۱۰) انجام گرفت و نتایج آن در جدول (۱) و شکل (۱۱) آورده شده‌اند. با توجه به نتایج این آزمون بر روی دانه‌های اکسید شده ترکیب Al-Ti-48Al (جدول (۱) و شکل (۱۱-الف)), مقدار آلومینیم برای



شکل ۱۰ تصویرهای میکروسکوپ الکترونی روبشی از سطوح ترکیبات Ti-48Al-5Mn (الف) و Ti-48Al (ب) اکسید شده به مدت ۸ ساعت در دمای 900°C



شکل ۱۱ نتایج آزمون طیف‌سنگی توزیع انرژی از سطوح اکسید شده مربوط به ترکیبات Ti-48Al (الف)، دانه‌ی آ Ti-48Al-5Mn (ب) و دانه‌ی ب (ج) Ti-48Al-5Mn

جدول ۱ درصد اتمی عناصر شیمیایی مختلف حاصل از آزمون طیف‌سنگی توزیع انرژی ترکیبات Al-Kα و Ti-48Al-5Mn (الف) و Ti-48Al (ب) در نقاط مختلف

عنصر	آلومینیم	تیتانیم	منگنز	اکسیژن
Ti-48Al	0.03 ± 0.05	0.37 ± 0.05	0.71 ± 0.22	0.91 ± 0.49
Dome A	0.92 ± 0.23	0.26 ± 0.04	0.33 ± 0.14	0.91 ± 0.49
Dome B	0.78 ± 0.55	0.35 ± 0.07	0.46 ± 0.37	0.12 ± 0.23

مجموعه‌ی آلومیناید تیتانیم تشکیل نشد و منگنز افزودن شده با نفوذ به ساختار تیتانیم، ترکیب بی‌شکل آلومینیم و منگنز در تیتانیم تشکیل داد.
۲- مطالعات ریزساختاری با میکروسکوپ الکترونی روبشی از سطح نمونه‌های تولیدی با فشردن سرد و عملیات تفجوشی در دمای 1050°C نشان

نتیجه‌گیری

نتایج به دست آمده در این پژوهش، به صورت زیر خلاصه می‌شوند:
۱- با افزودن عنصر آلیاژی منگنز و آلیاژسازی مکانیکی مخلوط‌های پودری با $1/5$ ، 3 و 5 درصد اتمی منگنز به مدت 50 ساعت، فاز جدیدی در

اتمی، سختی از حدود ۲۲/۱ به ۴۰/۷ را کولسی افزایش یافت.

۶- افزودن منگنز به ترکیب بین فلزی Ti-48Al، تغییری در مقاومت به اکسایش آن ایجاد نکرد و حتی آن را اندکی کاهش داد.

۷- نتایج آزمون پراش پرتوی ایکس نشان دادند که نیترید تیتانیم در ترکیب اکسید شده‌ی Ti-48Al نیتریدی شدن در لایه‌های درونی تر لایه‌ی اکسیدی می‌باشد و بر سرعت کمتر واکنش اکسایش برای Ti-48Al-5Mn ترکیب Ti-48Al در مقایسه با آلیاژ $Ti-48Al-5Mn$ دلالت دارد.

۸- تصویرهای میکروسکوپ الکترونی رویشی مربوط به سطوح اکسید شده‌ی آلیاژ نشان دهنده‌ی دو نوع ذره به شکل‌های متفاوت می‌باشند. نتایج آزمون طیف‌سنجی توزیع انرژی بر روی این ذرات نشان دادند که پوسته‌ی اکسیدی تشکیل شده برای آلیاژ $Ti-48Al-5Mn$ شامل مخلوطی از آلومینا و روتیل می‌باشد، در حالی که پوسته‌ی اکسیدی مربوط به ترکیب $Ti-48Al$ عمدتاً از دانه‌های آلومینا تشکیل شده بود.

دادند که اتصال ذرات برای پیوند خوردن دانه‌ها به یکدیگر در دمای تفجوشی 1050°C به خوبی برای قطعات تولیدی در این دما انجام شده است. در دماهای تفجوشی کمتر از 1050°C (800°C و 900°C)، پیوند بین ذرات پودری به خوبی برقرار نشد، در حالی که در دماهای تفجوشی بالاتر از 1050°C (1200°C)، رشد دانه‌ها اتفاق افتاد.

۳- چگالی نمونه‌های آلیاژ شده با منگنز در مقایسه با چگالی آلومیناید تیتانیم غیرآلیاژی (Ti-48Al)، بیشتر بود که علت آن، وزن اتمی بالاتر منگنز در مقایسه با تیتانیم و آلومینیم بود. افزون بر این، با افزایش درصد اتمی منگنز، چگالی نمونه‌های تولیدی افزایش یافت.

۴- درصد تخلخل در نمونه‌های ترکیب $Ti-48Al$ آلیاژهای آن با $1/5$ ، 3 و 5 درصد اتمی منگنز، تقریباً یکسان بود (تقریباً $1/2$ درصد) و دلیل آن، ثابت بودن تمامی متغیرهای چگالش از قبیل فشار سرد (400 تن نیرو) و دمای تفجوشی (1050°C) برای تمامی ترکیبات عنوان شد.

۵- با افزودن منگنز به ترکیب $Ti-48Al$ تا 5 درصد

مراجع

1. Zhang, D.L, Yu, H.B. and Chen, Y.Y., "Mechanical properties and fracture behaviour of nanostructured and ultrafine structured TiAl alloys synthesised by mechanical milling of powders and hot isostatic pressing", *Materials Science Forum*, Vol. 683 , pp. 149-1, (2011).
2. Yu, H.B., Zhang, D.L., Chena, Y.Y., Cao, P. and Gabbitas, B., "Synthesis of an ultrafine grained TiAl based alloy by subzero temperature milling and HIP, its microstructure and mechanical properties", *Journal of Alloys and Compounds*, Vol. 474, pp. 105-112, (2009).
3. Wenbin, F., Lianxi, H., Wenxiong, H., Erde, W. and Xiaoqing, L., "Microstructure and properties of a TiAl alloy prepared by mechanical milling and subsequent reactive sintering", *Materials Science and Engineering A*, Vol. 403, pp. 186–190, (2005).

4. Zhang, W.J., Chen, G.L., Appel, F., Nieh, T.G. and Deevi, S.C., "A preliminary study on the creep behavior of Ti-45Al-10Nb alloy", *Materials Science and Engineering A*, Vol. 315 (1-2), pp. 250-253, (2001).
5. Lu, X., He, X.B., Zhang, B., Qu, X.H., Zhang, L., Guob, Z.X. and Tian, J.J., "High-temperature oxidation behavior of TiAl-based alloys fabricated by spark plasma sintering", *Journal of Alloys and Compounds*, Vol. 478, pp. 220-225, (2009).
6. Zhao, L.L., Li, G.Y., Zhang, L.Q., Lin, J.P., Song, X.P., Ye, F. and Chen, G.L., "Influence of Y addition on the long time oxidation behaviors of high Nb containing TiAl alloys at 900 °C", *Intermetallics*, Vol. 18, pp. 1586-1596, (2010).
7. Lee D., "Effect of Cr, Nb, Mn, V, W and Si on High Temperature Oxidation of TiAl Alloys", *Metals and Materials International*, Vol. 11, pp. 141-147, (2005).
8. Vojtech, D., Popela, T., Kubásek, J., Maixner, J. and Novak, P., "Comparison of Nb- and Ta-effectiveness for improvement of the cyclic oxidation resistance of TiAl-based intermetallics", *Intermetallics*, Vol. 19, pp. 493-501, (2011).
9. Shida, Y. and Anada, H., "The Influence of ternary element addition on the oxidation behaviour of TiAl intermetallics compound in high temperature air", *Corrosion Science*, Vol. 35, pp. 945-953, (1993).
10. Venketaraman, G., Jackson, A.G., Teal, K.R. and Froes F.H., "The influence of Nb addition on structure and properties of rapidly solidified intermetallics", *Materials Science and Engineering*, Vol. 98, pp. 257-263, (1988).
11. Suryanarayana, C., "Mechanical alloying and milling", *Progress in Materials Science*, New York, pp. 1-184, (2001).
12. Jnuhong, Z., Baiyun, H. and Yuehui, H., "Synthesis of amorphous Ti-Al alloys by mechanical alloying of elemental powders", *Transactions of Nonferrous Metals society*, Vol. 12, pp. 610-614, (2002).
13. Kumaran, S., Sasikumar, T., Arockiakumar, R. and Srinivasa Rao, T., "Nanostructured titanium aluminides prepared by mechanical alloying and subsequent thermal treatment", *Powder Technology*, Vol. 185, pp. 124-130, (2008).
14. Erschbaumer, H., Podloucky, R., Rogl, P. and Temnitschka, G., "Atomic modelling of Nb, V, Cr, and Mn substitutions in γ -TiAl. I: c/aratio and site preference", *Intermetallics*, Vol. 1, pp. 99-106, (1993).
۱۵. جرمن، ر.م، "متالورژی پودر"، ترجمه ناصریان ریابی، م. و حائریان اردکانی، ع.، دانشگاه فردوسی مشهد، صفحات ۲۵-۴۰۰، (۱۳۸۵).
16. Wang, Y.H., Lin, J.P., He, Y.H., Lu, X., Wang, Y.L. and Chen, G.L., "Microstructure and mechanical properties of high Nb containing TiAl alloys by reactive hot pressing", *Journal of Alloys and Compounds*, Vol. 461, pp. 367-372, (2008).

17. Appel, F., Paul, J.D.H. and Oehring, M., "Gamma titanium aluminide alloys, science and technology", Wiley-VCH Verlag and Co. KGaA, Boschstr, Weinheim, *Germany*, Vol. 12, pp. 40-77, (2011).
18. Reddy, R.G., Wen, X., and Divakar, M., "Isothermal Oxidation of TiAl Alloy", *Metallurgical and Materials Transactions A*, Vol. 32A, pp. 2357-2362, (2000).
19. Locci, I.E., Brady, M.P., MacKay, R.A. and Smith, J.W., "Very long term oxidation of Ti-48Al-2Cr-2Nb at 704 °C in air", *Scripta Materialia*, Vol. 37, pp. 761-766, (1997).
20. Schutze, M. and Hald, M., "Improvement of the oxidation resistance of TiAl alloys by using the chlorine effect", *Materials Science and Engineering A*, Vol. 239, pp. 847-858, (1997).